

Tsunami-Simulation für das indonesische Fühwarnsystem

Natalja Rakowsky, Alexey Androsov, Annika Fuchs, Sven Harig, Antonia Immerz, Jörn Behrens*, Wolfgang Hiller, Sergey Danilov, Jens Schröter

Alfred Wegener Institute, Bremerhaven

* KlimaCampus, University of Hamburg, Germany

Wissen um 11
Haus der Wissenschaft, Bremen
3. Mai 2014



Überblick

- Aufbau des indonesischen Frühwarnsystems
- Das Tsunami-Simulationsprogramm TsunAWI
- Szenarien-Datenbank
- Szenarien-Auswahl im Warnfall
- Überflutungssimulation



2005-2011 GITEWS-Projekt, vom BMBF gefördert

Nov. 2008 Einweihung des Warnsystems in Jakarta

Sep. 2010 Begutachtung durch internationale Experten

März 2011 Übergabe an Indonesia

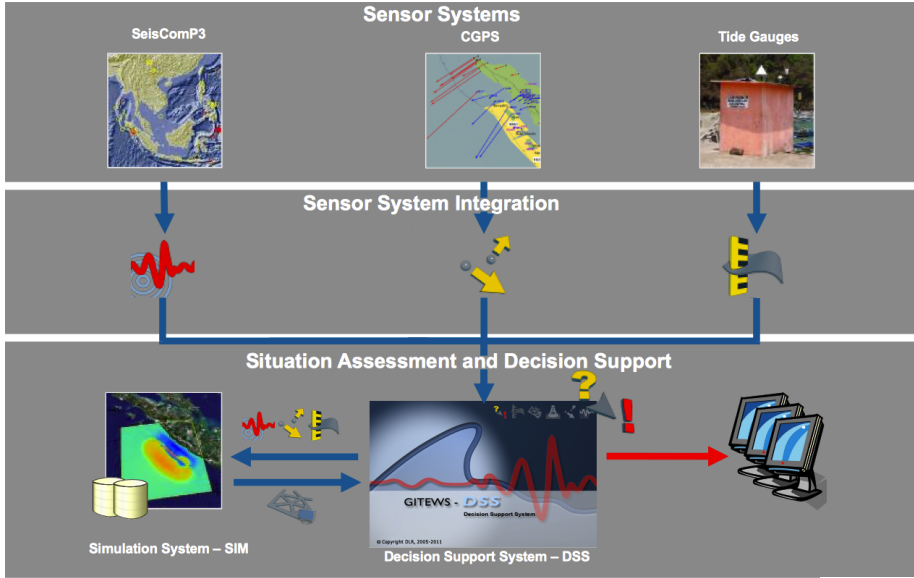
2011-2014 PROTECTS – PROject for Training, Education and Consulting for Tsunami early warning Systems, BMBF

Frühwarnsystem Überblick

Warnraum am Badan Meteorologi, Klimatologi dan Geofisika, Jakarta

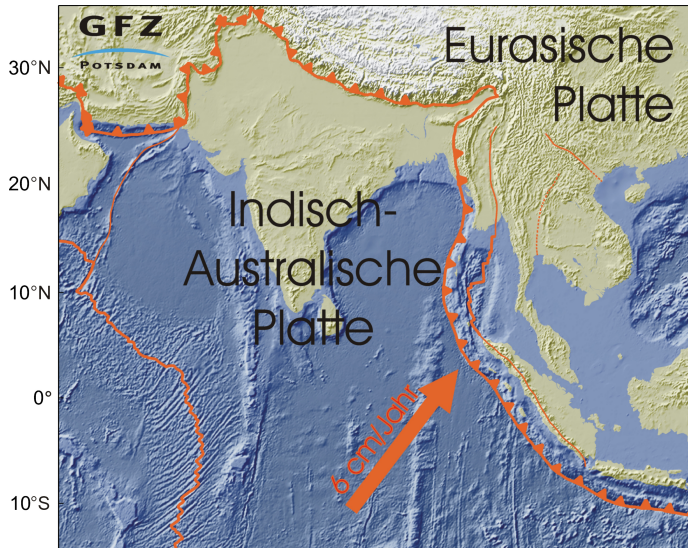


Frühwarnsystem Überblick



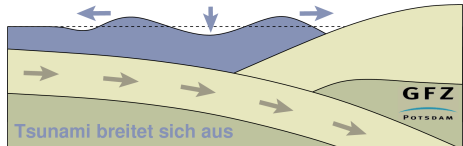
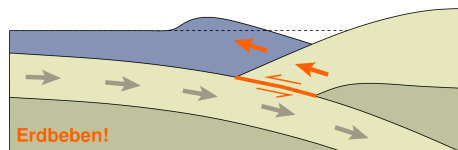
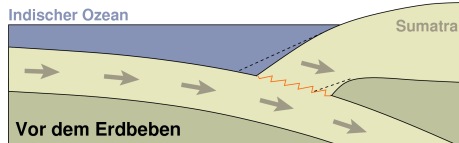
Frühwarnsystem Überblick

Plattentektonik



Tsunami-Modellierung

Erdbeben als Tsunami-Auslöser



Tsunami-Modellierung

Die nicht-linearen Flachwassergleichungen

Impulsgleichung

$$\frac{\partial \mathbf{v}}{\partial t} + g \nabla \zeta + f \mathbf{k} \times \mathbf{v} + (\mathbf{v} \cdot \nabla) \mathbf{v} + \frac{r}{H} \mathbf{v} |\mathbf{v}| + \nabla (K_h \nabla \mathbf{v}) = 0,$$

Kontinuitätsgleichung

$$\frac{\partial \zeta}{\partial t} + \nabla \cdot (H \mathbf{v}) = 0,$$

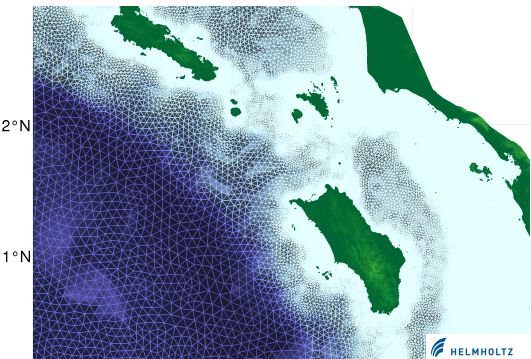
Kart. Koordinaten $(x, y) \in \Omega$,
Meeresspiegelauslenkung ζ ,
Coriolis Parameter f ,
Viskosität K_h .

horiz. Geschw. $\mathbf{v} = (u, v)$,
totale Wassertiefe $H = h + \zeta$,
Manning Bodenreibung r ,

Tsunami-Modellierung

In Stichpunkten

- Abgeleitet vom Ozeanmodell FESOM
- Unstrukturierte $P_1 - P_1^{\text{NC}}$ finite Elemente, $\Delta x \leq \min \left(c_t \sqrt{gh}, c_g \frac{h}{\nabla h} \right)$
- Anfangsbedingungen aus Erdbeben (Okada Parameter, Quellmodell) oder Landrutsch-Modell
- Leap-frog Zeitschritt
- Module for Gezeiten, nicht-hydrostatisch
- Fortran90, OpenMP, netcdf
- Visualisierung mit Matlab, OpenDX, GIS
- Skripte for Batch und Post-prozessierung, GIS output



Scenarios 2007-2010

model physics linear shallow water

source model by GFZ: RuptGen 1.0, 1900 sources

336 epicenters, Mw=7.5, 7.7, **8.0**, 8.2, **8.5**, 8.7, **9.0**

bathymetry GEBCO 1', accurate datasets for coastal regions

TsunAWI Szenarien-Datenbank

Scenarios 2007-2010 → since 2011

model physics linear shallow water

- nonlin. advection added, Smagorinsky viscosity, improved inundation scheme

source model by GFZ: RuptGen 1.0, 1900 sources

336 epicenters, Mw=7.5, 7.7, **8.0**, 8.2, **8.5**, 8.7, **9.0**

- RuptGen 2.1, 3470 sources

528 epicenters, Mw=7.2, 7.4, 7.6, ..., 8.8, 9.0

bathymetry GEBCO 1', accurate datasets for coastal regions

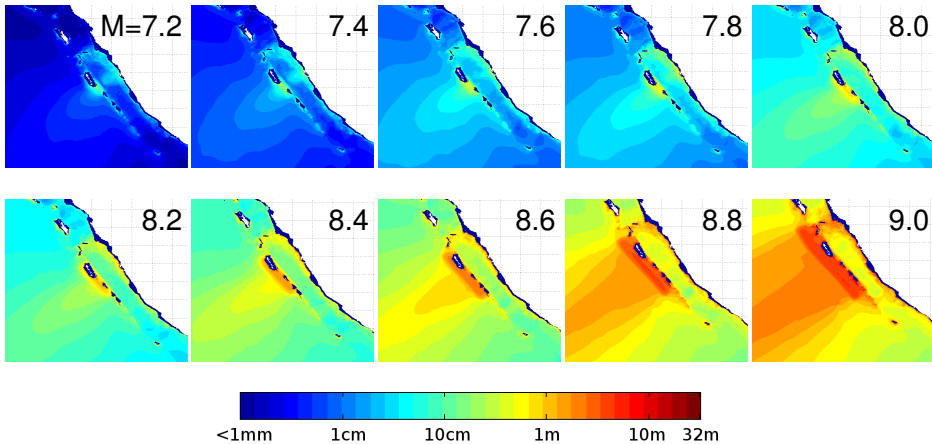
- GEBCO 30" instead of GEBCO 1'

technical improvements

- faster calculation, reduced scenario file size

TsunAWI Szenarien-Datenbank

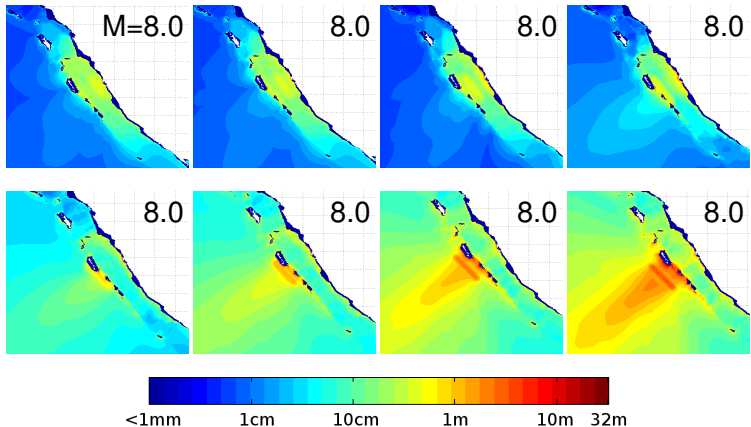
Einfluss der Magnitude auf die maximale Wellenhöhe



Logarithmische Skala: Magnitude +1 \Rightarrow Energie $\times 31,6$

TsunAWI Szenarien-Datenbank

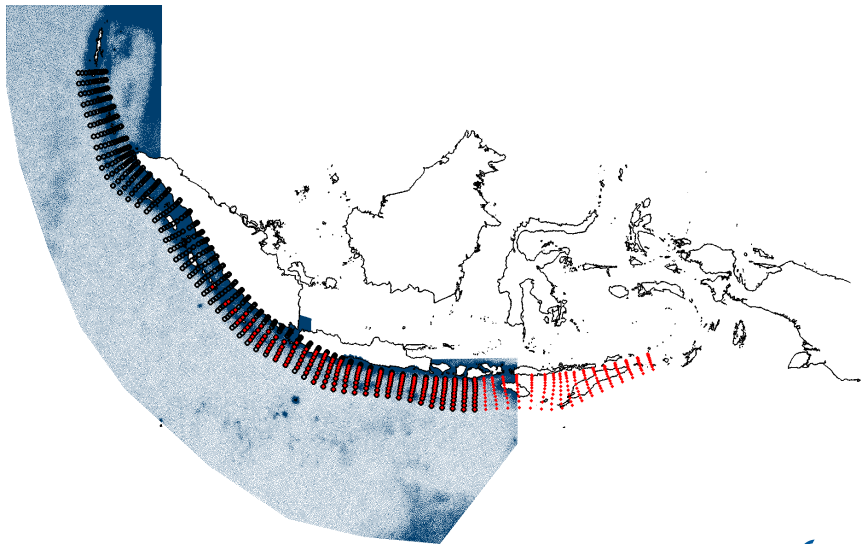
Einfluss der Lokation auf die maximale Wellenhöhe



An der Küste tiefes Epizentrum in festem Gestein,
am Trench Epizentrum dicht unter der Oberfläche in weichem Gestein.

TsunAWI Szenarien-Datenbank

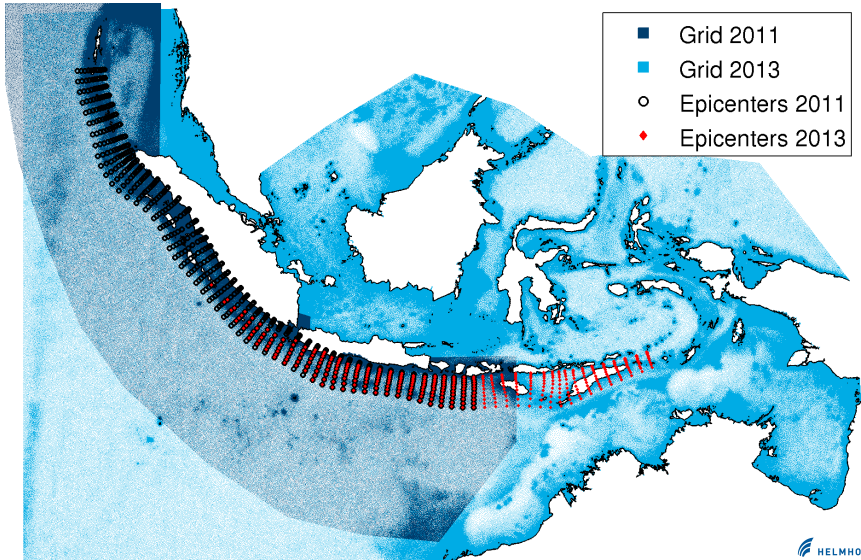
Model domain for scenarios 2011



TsunAWI Szenarien-Datenbank



Model domain for scenarios 2011 and extension 2013

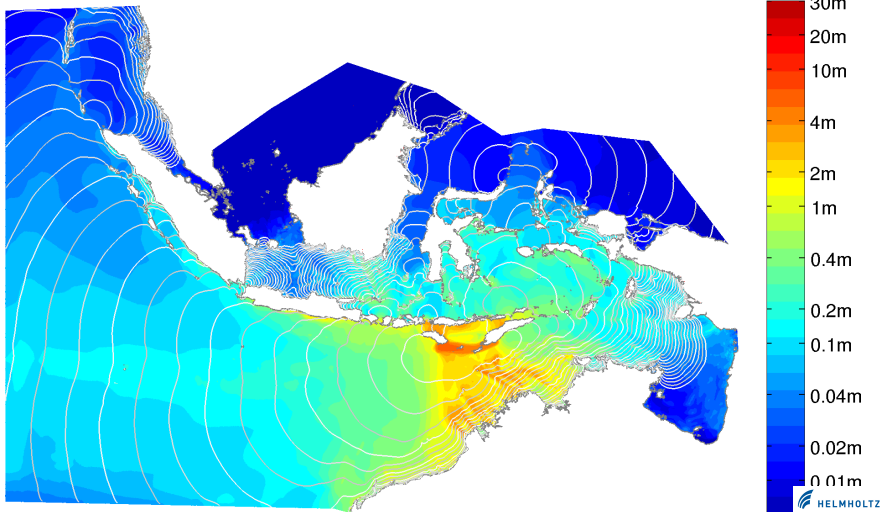


	Scenarios 2011	Extension 2013
#scenarios	3450	New, East: 1100 Replace: 1100
magnitudes	7.2, 7.4, ..., 8.8, 9.0	
#grid nodes reduced	2.3 Mio 1.1 Mio	15 Mio 7.5 Mio
resolution	50m - 150m - 15km	
model time	3 h	12 h
compute time	0:45 h 2× 8 Core Xeon Nehalem	15 h 1× 8 Core Xeon Westmere
file size	1.1GB	22GB → 500MB without timesteps

Scenario data products

ETA isochrones and maximum amplitude

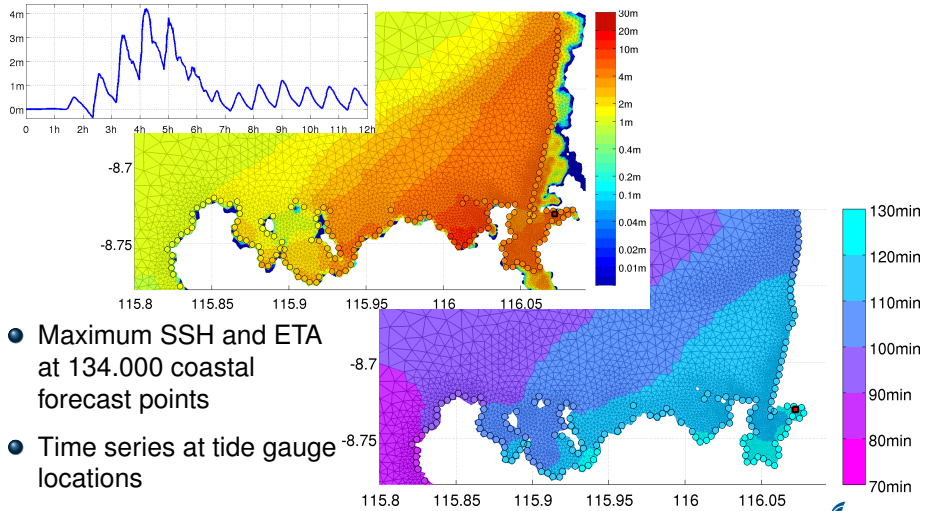
Example: Magnitude 9.0 in the Eastern Sunda Arc



Scenario data products

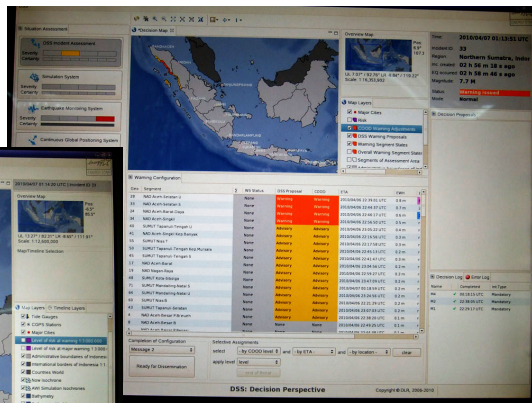
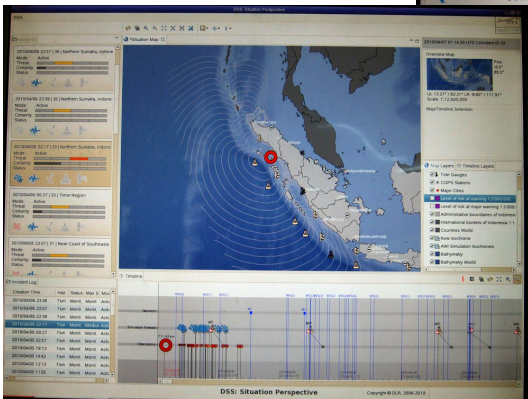
Coastal forecast points

Example: Magnitude 9.0 in the Eastern Sunda Arc, zoom to Lembar, Eastern Lombok



Scenario data products

Mini-Tsunami am 7. April 2010



Szenarien Auswahl-Algorithmus

Unsicherheit reduzieren mit Multi-Sensordaten

- Epizentrum und Magnitude sind Ergebnis von ausgeklügelter Verarbeitung vieler seismischer Messstationen (SeisComP3, GFZ).
- Verlässliche GPS-Verschiebungsdaten kommen auch schnell. Aber bisher wenig Erfahrung, begrenzte Zahl von Stationen.
- Küstenpegel in den ersten Minuten nur nicht für automatisierte Szenarienauswahl geeignet.

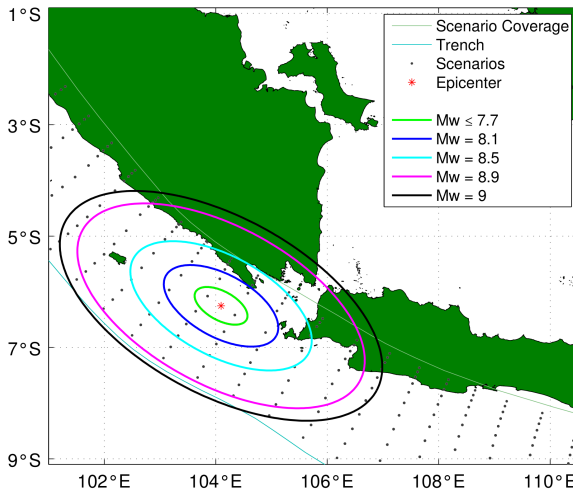
Szenarien Auswahl-Algorithmus

Unsicherheit reduzieren mit Multi-Sensordaten

- Epizentrum und Magnitude sind Ergebnis von ausgeklügelter Verarbeitung vieler seismischer Messstationen (SeisComP3, GFZ).
→ Epizentrum und Magnitude zur Vorauswahl von Szenarien.
- Verlässliche GPS-Verschiebungsdaten kommen auch schnell. Aber bisher wenig Erfahrung, begrenzte Zahl von Stationen.
→ Szenarien-Vorauswahl mit GPS eingrenzen.
- Küstenpegel in den ersten Minuten nur nicht für automatisierte Szenarienauswahl geeignet.
→ Sehr wertvoll für Entwarnung und Verifikation.

Szenarien Auswahl-Algorithmus

1. Step: Seismic pre-selection



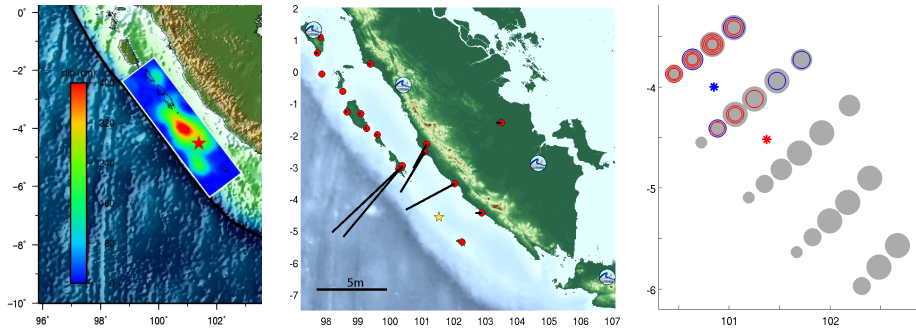
Magnitude uncertainty:
 $[M - 0.5; M + 0.3]$.

Epicenter uncertainty:
 Ellipse parallel to the trench
 $r_L = 10^{0.5[M+0.3]-1.8} \text{ km}$,
 $r_W = \frac{1}{2}r_L$.

Szenarien Auswahl-Algorithmus

2. Step CGPS e.g., Benkulu Sept. 2007

USGS Finite Fault: Tsunami source NW of the epicenter.
Measured GPS-dislocations strong in the NW, but not SE.

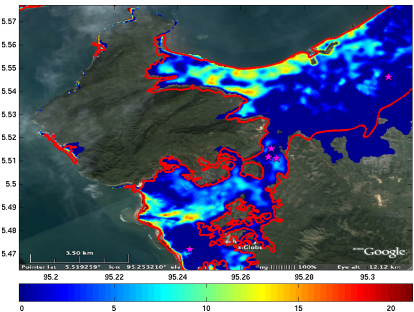


GPS matching would reject all scenarios in the SE, and some very strong scenarios in the NW.

Überflutungssimulation

Example: Banda Aceh 2004

Simulation shows good agreement with measurements.



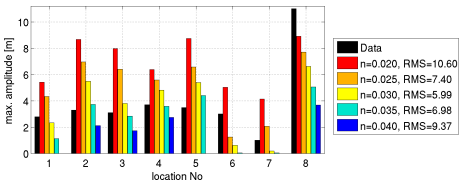
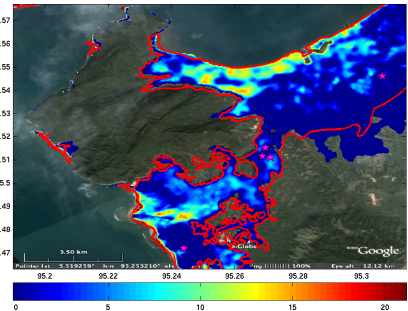
Überflutungssimulation

Example: Banda Aceh 2004

Simulation shows good agreement with measurements.

However, calibration remains difficult. The result is sensitive to

- source model,
- Manning coefficient,
- mesh resolution,
- topography data.



Überflutungssimulation

Sensitivity study on topography data

Three groups AIFDR, ITB, AWI,

Three models ANUGA, TUNAMI-N3, TsunAWI,

Three regions Padang (Sumatra), Maumere (Flores), Palu (Sulawesi)

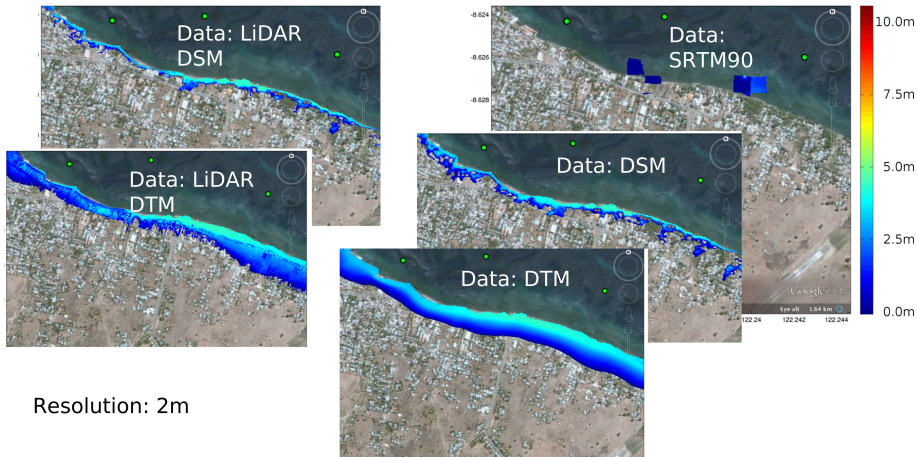
One conclusion **High quality topography data is crucial!**

- Free SRTM data (90m horizontal resolution, $\leq 16\text{m}$ vertical accuracy) only for rough estimates,
- Intermap (5m; 0.7m) and LiDar (1m; 0.15m) comparable for shallow water models,
- Results more sensitive to varying data sets than to varying resolution.

Überflutungssimulation

Sensitivity study on topography data

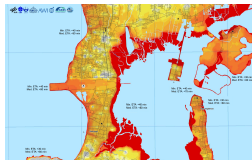
Example: synthetic scenario for Maumere, Flores



Resolution: 2m

Überflutungssimulation

Deriving evacuation maps e.g., Kuta, Bali



tsunami risk



exposed people



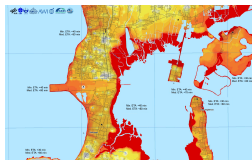
evacuation time



risk map (with shelters)

Überflutungssimulation

Deriving evacuation maps e.g., Kuta, Bali



tsunami risk



exposed people



evacuation time

Helmholtz-Zentrum
Geesthacht
Zentrum für Material- und Küsteforschung



risk map (with shelters)

Überflutungssimulation

Deriving evacuation maps e.g. Kuta, Bali



tsu



risk map (with shelters)

Tsunami Gruppe

Indonesisches Warnsystem

Wissen um 11, 3.5.14

26 / 26



Helmholtz-Zentrum
Geesthacht
für Material- und Küsteforschung



evacuation map

HELMHOLTZ
GEMEINSCHAFT